

Faraday-Rotation

I. Rückmann, H. Bieker, P. Kruse

Universität Bremen

Bad Honnef 2014



Faraday-Rotation

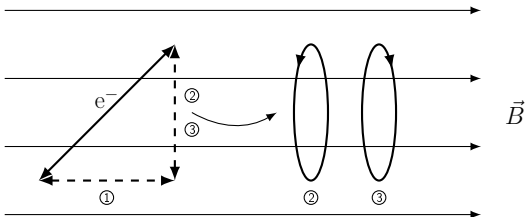
- magnetfeldinduzierte Doppelbrechung
- transparentes Medium (dielektrisch, nicht magnetisch)
- Drehung der Polarisationsebene beim Durchgang

$$\theta = V \cdot B \cdot L$$

Anwendung:

- Faraday Isolator
- Bestimmung der effektiven Masse in Halbleitern

Zeeman-Aufspaltung im Axialfeld

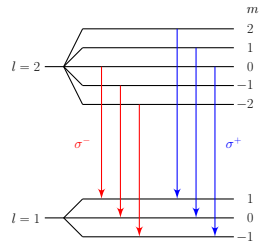
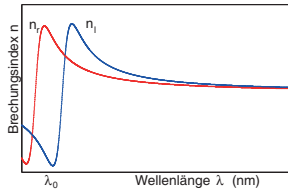
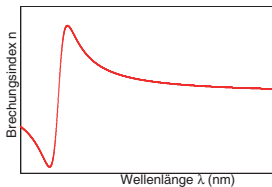


- klassische Erklärung:
3 Ersatzelektronen, ω_0
- normaler Zeeman-Effekt

- Axialfeld:
 - 2.+3. Ersatzelektron
 - $\Delta\omega_{\text{Zeeman}} = \pm\mu_B B/\hbar$
- Frequenzunterschied σ^- , σ^+ -Emissionen:
 - $2\Delta\omega_{\text{Zeeman}} = 2\mu_B B/\hbar$

Glas

Alle hochenergetischen Übergänge → Modellresonanz



$$\Delta \tilde{E} = 2\Delta W_{\text{Zeeman}} = \frac{e\hbar}{m_e^*} B$$

$$\Delta \lambda = -\frac{\lambda^2}{hc} \frac{e\hbar}{m_e^*} B$$

$$\Delta m = \pm 1$$

→ Brechungsunterschied n_l und n_r im transparenten Bereich

Zerlegung σ^- und σ^+ -Welle im Medium

$$E = E_r + E_l = \frac{E_0}{2} \exp i(\omega t - k_r z) + \frac{E_0}{2} \exp -i(\omega t - k_l z)$$

$$E_{z=L} = E_0 \exp i\left(\frac{\omega}{2c}(n_l - n_r)L\right) \cos\left(\omega t - \frac{k_l + k_r}{2}L\right)$$

Drehwinkel:

$$\theta = \frac{\omega}{2c} (n_l - n_r) L = \frac{2\pi f}{2c} (n_l - n_r) L = \frac{\pi}{\lambda} (n_l - n_r) L = \frac{\pi}{\lambda} \Delta \lambda \frac{dn}{d\lambda} L$$

$$\theta = \underbrace{-\frac{1}{2} \frac{e}{m_e^\star c} \lambda \frac{dn}{d\lambda}}_{\text{Verdet-Konstante}} \cdot B \cdot L$$

Effektive Oszillatormasse und Dispersion

Dispersionselektronen im Glas:

$$m_e^* \ddot{\vec{x}} + D \vec{x} = -e \left(\vec{E} + \vec{v} \times B \vec{e}_z \right)$$

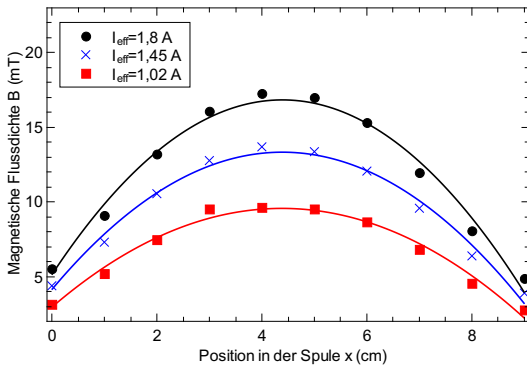
$$n_{l,r}^2 = \epsilon_{l,r} = 1 + \frac{Ne^2}{m_e^* \epsilon_0} \frac{1}{\omega_0^2 - \omega^2 \mp \omega \frac{eB}{m_e^*}}$$

...

$$V = \frac{\omega^2 Ne^3}{2cnm_e^{*2}\epsilon_0} \frac{1}{(\omega_0^2 - \omega^2)^2}$$

$$\frac{1}{n^2 - 1} = \frac{4\pi^2 c^2 m_e^* \epsilon_0}{Ne^2} \left(\frac{1}{\lambda_0^2} - \frac{1}{\lambda^2} \right) \quad \text{Sellmeier}$$

Axiales Magnetfeld einer endlichen Spule

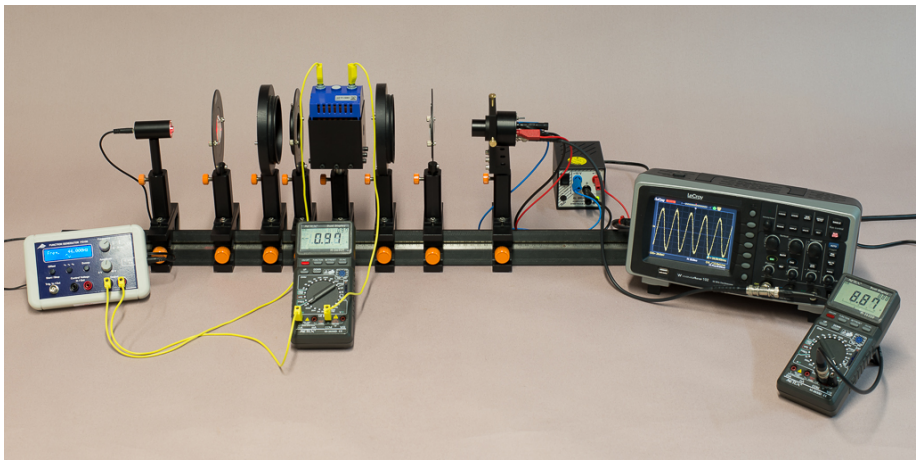


$$\bar{B} = \int_0^L B dl$$

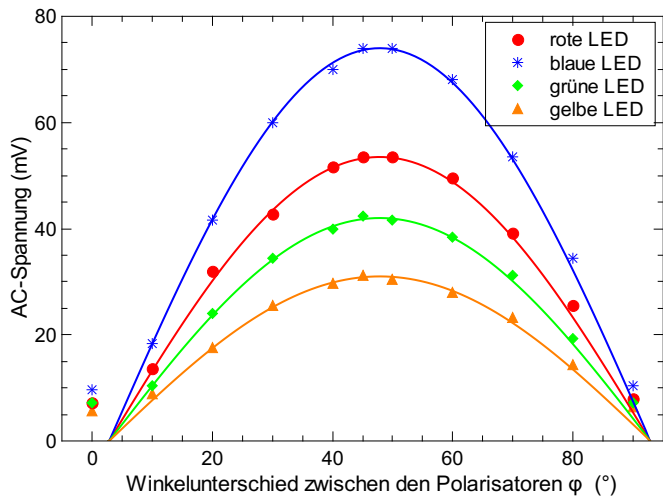
Modulationsverfahren

- Malus $I = I_0 \cos^2 \varphi$
- größter Anstieg bei $\varphi = 45^\circ$
- $I = I_0 \cos^2 (45^\circ \pm \theta) = 0,5I_0 (1 \mp 2 \cos \theta \sin \theta)$
 $\approx I_0 \left(\frac{1}{2} \mp \theta_B \right)$
- Modulationsfrequenz Ω
 $I(t) = I_0 \left(\frac{1}{2} + \theta_B \sin \Omega t \right) = I_{DC} + I_{AC}$
 $\theta_B = \frac{I_{SS}}{4I_{DC}}$
- spektrale Funktionen heben sich auf

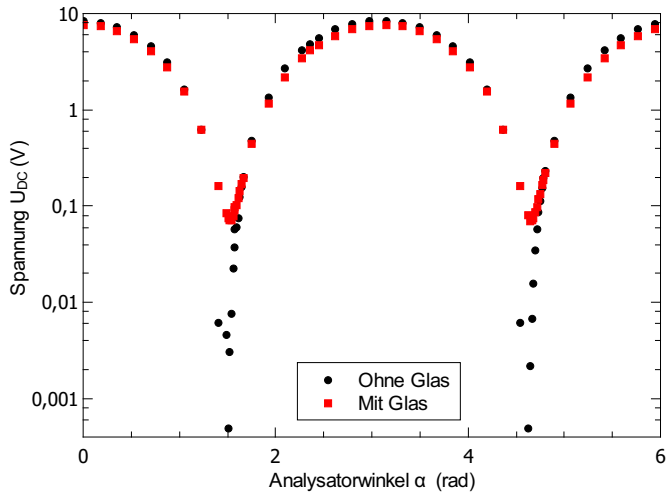
Versuchsaufbau



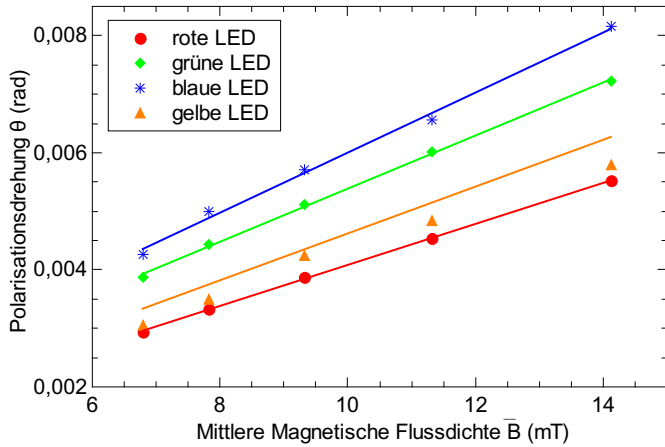
Maximale Modulation



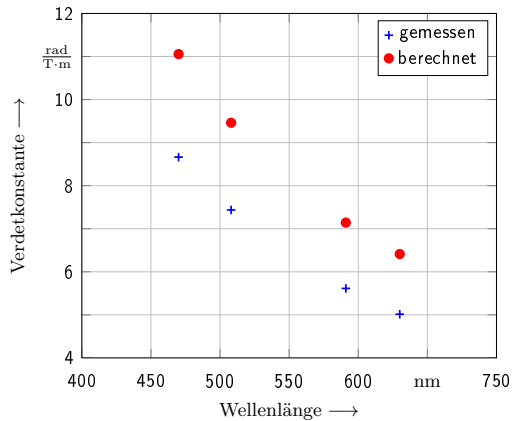
Kontraste mit und ohne Glas



Drehwinkel $\theta(B)$



Verdet-Konstante $V(\lambda)$



Berechnung mit $m_e^* = m_e$
 $m_e^* = 1,2 m_e$

m_e^* , λ_0 , N

Effektive Oszillatormasse m_e^*

- aus V und Kenntnis $dn/d\lambda$ (refractiveindex.info)
 $\longrightarrow m_e^* \approx 1,2 m_e$

Lage der Modellresonanz λ_0

- aus Auftragung $\frac{1}{n^2-1} = \frac{4\pi^2 c^2 m_e^* \varepsilon_0}{Ne^2} \left(\frac{1}{\lambda_0^2} - \frac{1}{\lambda^2} \right)$

Zahl der Dispersionselektronen N

- Kenntnis m_e^* und $n(\lambda)$ erforderlich
 $\longrightarrow N = 2,6 \cdot 10^{23} \text{ cm}^{-3}$

Inhalte

- axiales Magnetfeld in einer Spule
- malussches Gesetz, $B = 0$
 - ohne Glas
 - mit Glas
 - Kontrast, Polarisationsverhältnisse
 - Spannungsdoppelbrechung in Glas
- Spektren von Leuchtdioden
- Modulationsverfahren zur Messung kleiner Größen
- Messung mit Oszilloskop, Tiefpassfilter

Inhalte

- Zeeman-Effekt im Axialfeld, Faraday-Rotation
- Verdetkonstante $V(\lambda)$
- Modellresonanz, Oszillatormodell, dielektrische Funktion
- Dispersion $n(\lambda)$, $dn/d\lambda$, Sellmeier-Gleichung
- effektive Oszillatormasse
- Bestimmung der Zahl der Dispersionselektronen

5. AGPP-DPG Workshop

„Innovative Lehrmittel zum Erlernen physikalische Konzepte“

Di, 13.Mai 2014, 10:30 bis 17:00 Uhr

Magnus-Haus Berlin

- Universitäten: Bremen, Marburg, Jena, Kassel
- AUCOOP e. V., LECTRON, PIMicos, Teach Spin
- anerkannt als Lehrerfortbildung

Danksagung

An das Praktikumsteam:

Waltraud Hoffmann, Silke Glüge, Peter Kruse, Christoph Windzio

Und an die mechanische Werkstatt



Fotos, Grafiken und Präsentationslayout: Christoph Windzio, Helen Bieker

